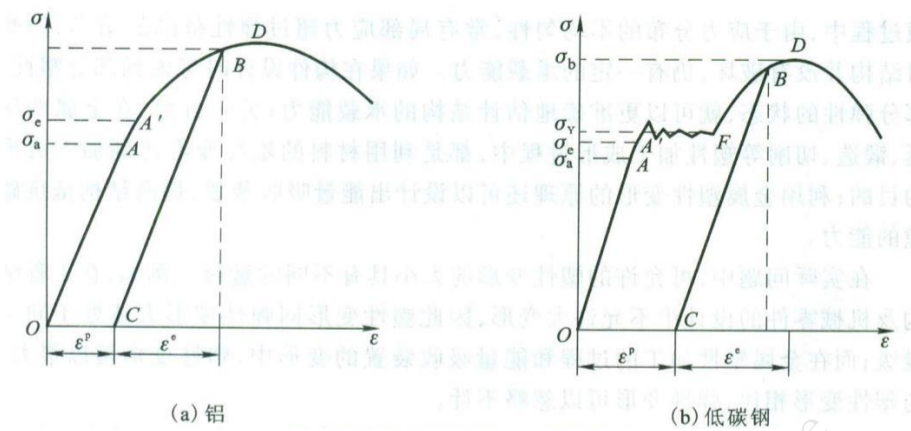


## 前置知识



工程应变	$\varepsilon = \frac{l - l_0}{l}$	名义应力	$\sigma = \frac{F}{A_0}$
弹性变形	$\varepsilon^e$	塑性变形	$\varepsilon^p$
比例极限	$\sigma_a$	弹性极限	$\sigma_e$
屈服应力	$\sigma_Y$	强度极限	$\sigma_b$
条件屈服应力(产生0.2%的塑性应变相对应的应力)			$\sigma_{0.2}$
真应力	$\bar{\sigma} = \frac{F}{A}$	自然应变	$\bar{\varepsilon} = \ln(1 + \varepsilon)$

## 第一章

### 1. 加、卸载准则

在简单应力下，可以写成

$$\left. \begin{array}{l} \sigma d\sigma > 0 \text{ 加载} \\ \sigma d\sigma < 0 \text{ 卸载} \end{array} \right\}$$

把简单拉伸试件在塑性阶段的应力-应变关系归纳为

$$\left. \begin{array}{l} d\sigma = E_t d\varepsilon \text{ 对于 } \sigma d\sigma > 0 \\ d\sigma = E d\varepsilon \text{ 对于 } \sigma d\sigma < 0 \end{array} \right\}$$

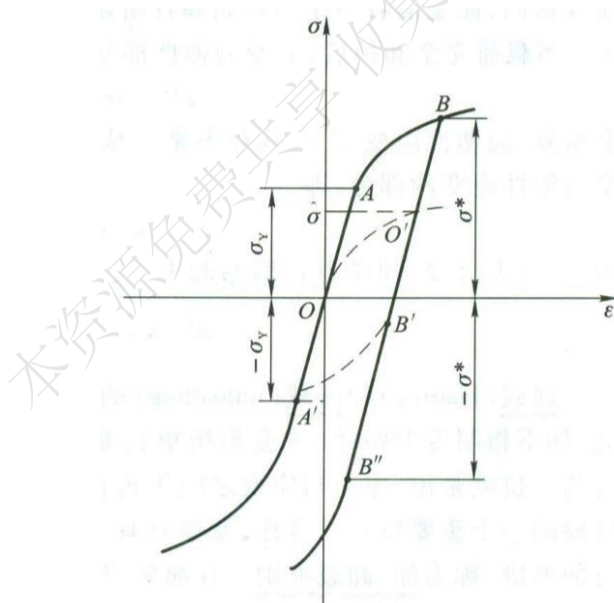
### 2. 后继屈服应力的函数形式

$$\sigma = H(\varepsilon^p) \iff \phi(\sigma, h_a) = 0$$

其中  $h_a$  是记录材料塑性加载历史的参数， $\phi$  则称为加载函数。

### 3. Bauschinger 效应

对于单晶体，在加载到强度极限后开始卸载，然后再反向加载，其反向屈服应力的绝对值比初始屈服应力  $\sigma_Y$  要大，即正向强化的反向亦强化。然而，对于一般非单晶体材料，在这种情况下反向屈服应力的绝对值比初始屈服应力  $\sigma_Y$  要小，即正向强化时反向会弱化。



### 4. 材料的塑性变形的共同特点

- (1) 应力-应变关系呈非线性；
- (2) 路劲相关性：由于材料在加载过程和卸载过程中服从不同的规律，应力与应变间不存在单值对应关系；
- (3) 耗散性：由于塑性应变不可恢复，故外力所作的塑性功具有不可逆性。

## 5. 静水压力试验

- (1) 静水压与材料的体积改变之间近似服从线性弹性规律;
- (2) 材料的塑性变形与静水压力无关.

## 6. 应变的对数定义

- (1) 可以对应变使用加法;

$$\begin{aligned}\varepsilon &\neq \varepsilon_1 + \varepsilon_2 + \varepsilon_3 \\ \bar{\varepsilon} &= \bar{\varepsilon}_1 + \bar{\varepsilon}_2 + \bar{\varepsilon}_3\end{aligned}$$

- (2) 体积不可压缩条件  $(1 + \varepsilon_1)(1 + \varepsilon_2)(1 + \varepsilon_3) = 1$  可以简单地表示为

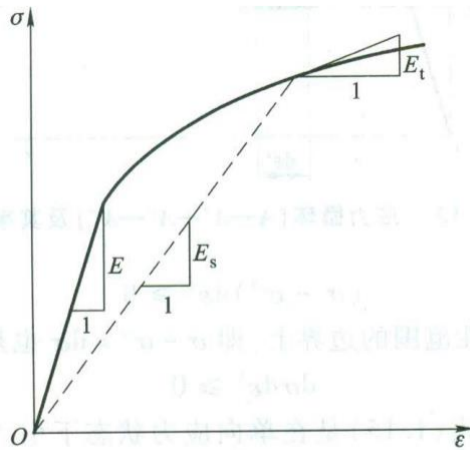
$$\bar{\varepsilon}_1 + \bar{\varepsilon}_2 + \bar{\varepsilon}_3 = 0$$

## 7. 材料塑性行为的基本假设

- (1) 材料的塑性行为与时间、温度无关;
- (2) 材料具有无限的韧性, 即认为材料可以无限地变形而不出现断裂;
- (3) 变形前材料是初始各向同性的, 且拉伸和压缩的  $\bar{\sigma} - \bar{\varepsilon}$  曲线一致;
- (4) 关于卸载和后继屈服的假设: 在产生塑性变形后卸载载荷, 材料服从弹性规律; 重新加载后的后继屈服应力等于卸载前的应力, 这就是说重新加载达到屈服后的  $\sigma - \varepsilon$  曲线是卸载前  $\sigma - \varepsilon$  曲线的延伸线;
- (5) 关于弹性和塑性的假设: 在任何条件下的应变总能分解为弹性和塑性两部分, 即  $\varepsilon = \varepsilon^e + \varepsilon^p$ ; 材料的弹性性质不因塑性变形而改变, 即  $\varepsilon^e = \frac{\sigma}{E}$ , 其中弹性模量  $E$  是与塑性变形无关的常数;
- (6) 塑性变形是在体积不变(不可压缩)条件下发生的. 静水压力只产生体积的弹性变化, 不产生塑性变形;
- (7) 关于材料稳定性的假设: 当应力单调变化时, 假设  $\sigma - \varepsilon$  曲线具有以下不等式

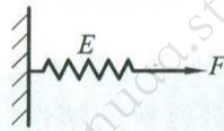
$$E > E_s \geq E_t \geq 0$$

其中  $E_s = \frac{\sigma}{\varepsilon}$  和  $E_t = \frac{d\sigma}{d\varepsilon}$  分别是  $\sigma - \varepsilon$  曲线的割线模量和切线模量.

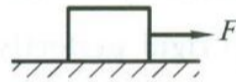
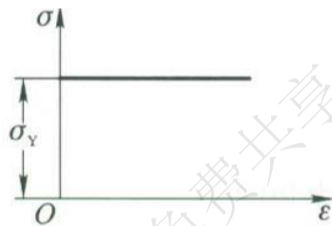


## 8. 应力-应变曲线的理想化模型

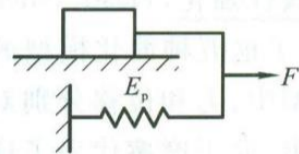
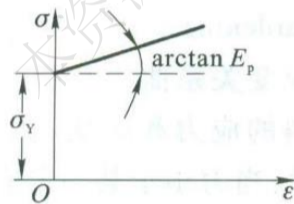
### (1)理想弹性模型



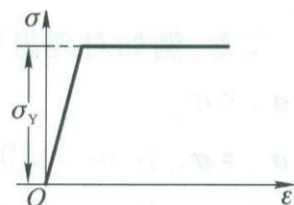
### (2)理想刚塑性模型



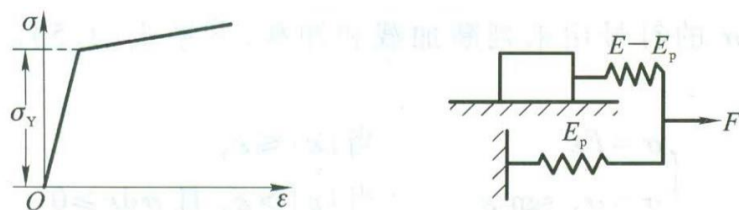
### (3)刚-线性强化模型



### (4)理想弹塑性模型



### (5)弹-线性强化模型



### 9. 强化模型

(1)等向强化模型：不论是拉伸或压缩，应变强化总是相等地产生和发展. 其表达式为

$$|\sigma| = \sigma^* = \psi \left( \int |d\varepsilon^p| \right) = F \left( \int dW^p \right)$$

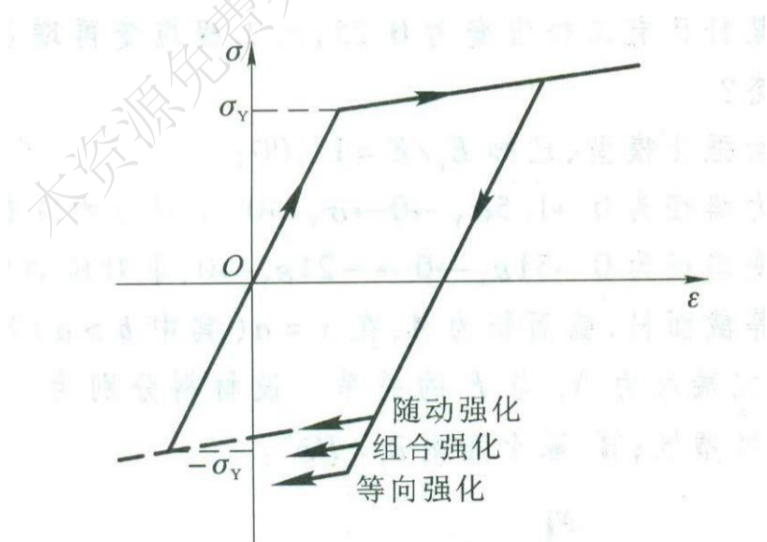
其中  $\sigma^*$  是  $|\sigma|$  在此前的塑性变形历史中曾经达到过的最大值，且  $\sigma^* > \sigma_Y$ ； $\int |d\varepsilon^p|$  表示塑性应变按照绝对值进行积累，而函数  $\psi$  可以根据材料的拉伸试验得出； $\int dW^p$  表示塑性比功，函数  $F$  可以根据材料的拉伸试验得出.  $\sigma^*$ 、 $\int |d\varepsilon^p|$  和  $\int dW^p$  都是单调变化的正数，都可以选作记录材料塑性变形历史的参数.

(2)随动强化模型：假定由于 Bauschinger 效应减少了反方向加载时的屈服应力，而总的弹性范围的大小保持不变. 其表达式为

$$|\hat{\sigma} - \varepsilon| = \sigma_Y$$

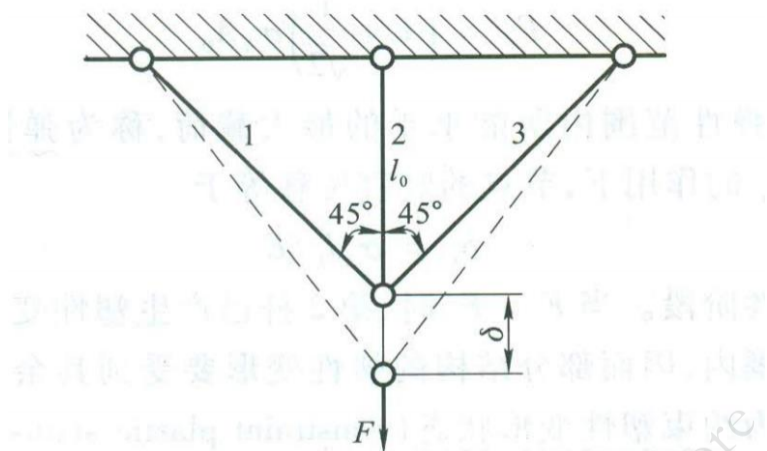
(3)组合强化模型：将上述两种强化模型组合起来，写成

$$|\sigma - \hat{\sigma}| = \sigma^*$$



## 第二章

## 1. 只施加竖直力的理想弹塑性材料的三杆桁架



设各杆的初始截面面积均为  $A_0$ ，第 2 杆的初始长度为  $l_0$ ，相邻杆间夹角为  $45^\circ$ ，则第 1 杆和第 3 杆的长度均为  $\sqrt{2}l_0$ ，用  $N_1$ 、 $N_2$  和  $N_3$  分别表示杆的内力，则由节点平衡方程得出

$$N_1 = N_3, \quad \frac{N_1 + N_3}{\sqrt{2}} + N_2 = F$$

用应力表示可得

$$\sqrt{2}\sigma_1 + \sigma_2 = \frac{F}{A_0}$$

变形协调条件

$$\delta = \varepsilon_2 l_0 = 2\varepsilon_1 l_0$$

于是有

$$\varepsilon_2 = 2\varepsilon_1$$

(1)弹性阶段：应力关系有

$$\sigma_2 = 2\sigma_1$$

解得

$$\begin{cases} \sigma_1 = \frac{1}{2 + \sqrt{2}} \cdot \frac{F}{A_0} \\ \sigma_2 = \frac{2}{2 + \sqrt{2}} \cdot \frac{F}{A_0} \end{cases}$$

所以第 2 杆先屈服，此时

$$\sigma_2 = \sigma_Y, \quad F_e = \left(1 + \frac{1}{\sqrt{2}}\right) \sigma_Y A_0, \quad \delta_e = \varepsilon_2 l_0 = \frac{\sigma_Y l_0}{E}$$

(2)约束塑性阶段：此时有

$$\begin{cases} \sigma_2 = \sigma_Y \\ \sigma_1 = \frac{1}{\sqrt{2}} \left( \frac{F}{A_0} - \sigma_Y \right) \end{cases}$$

(3) 塑性流动阶段：第 1 杆屈服，此时

$$\sigma_1 = \sigma_2 = \sigma_Y, F_Y = (1 + \sqrt{2})\sigma_Y A_0, \delta_y = 2\varepsilon_1 l_0 = \frac{2\sigma_Y l_0}{E} = 2\delta_e$$

(4) 卸载阶段：由增量法

$$\Delta\sigma_1 = \frac{1}{2 + \sqrt{2}} \cdot \frac{\Delta F}{A_0} = E\Delta\varepsilon_1, \Delta\sigma_2 = \frac{2}{2 + \sqrt{2}} \cdot \frac{\Delta F}{A_0} = E\Delta\varepsilon_2, \Delta F = (1 + \sqrt{2})\sigma_Y A_0$$

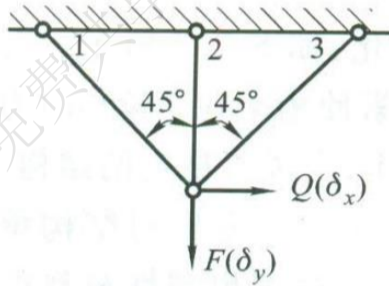
因此有

$$\Delta\sigma_1 = \frac{1}{\sqrt{2}}\sigma_Y, \Delta\sigma_2 = \sqrt{2}\sigma_Y, \Delta\varepsilon_1 = \frac{1}{\sqrt{2}}\frac{\sigma_Y}{E}, \Delta\varepsilon_2 = \sqrt{2}\frac{\sigma_Y}{E}$$

叠加上初始应力可得

$$\begin{aligned} \sigma_1^\circ &= \sigma_Y - \frac{1}{\sqrt{2}}\sigma_Y = \left(1 - \frac{1}{\sqrt{2}}\right)\sigma_Y > 0, \sigma_2^\circ = \sigma_Y - \sqrt{2}\sigma_Y = (1 - \sqrt{2})\sigma_Y < 0 \\ \varepsilon_1^\circ &= \frac{\sigma_Y}{E} - \frac{1}{\sqrt{2}}\frac{\sigma_Y}{E} = \left(1 - \frac{1}{\sqrt{2}}\right)\frac{\sigma_Y}{E} > 0, \varepsilon_2^\circ = 2\frac{\sigma_Y}{E} - \sqrt{2}\frac{\sigma_Y}{E} = (2 - \sqrt{2})\frac{\sigma_Y}{E} > 0 \\ \delta_y^\circ &= \frac{2\sigma_Y l_0}{E} - 2 \cdot \frac{1}{\sqrt{2}}\frac{\sigma_Y}{E} \cdot l_0 = (2 - \sqrt{2})\frac{\sigma_Y l_0}{E} = (2 - \sqrt{2})\delta_e > 0 \end{aligned}$$

## 2. 先施加竖直力再施加水平力的理想弹塑性材料的三杆桁架



对桁架先仅仅施加  $F$  直到极限载荷  $F_Y = (1 + \sqrt{2})\sigma_Y A_0$ ，同时保持  $Q = 0$ 。此时

$$\sigma_1 = \sigma_2 = \sigma_3 = \sigma_Y, \delta_y = 2\varepsilon_1 l_0 = \frac{2\sigma_Y l_0}{E} = 2\delta_e, \delta_x = 0$$

然后在保持节点竖直位移  $\delta_y$  不变的情况下增加  $Q$ ，这时  $F$  将有相应的改变。用增量法有

$$\Delta\sigma_2 + \frac{\Delta\sigma_1 + \Delta\sigma_3}{\sqrt{2}} = \frac{\Delta F}{A_0}, \frac{\Delta\sigma_1 - \Delta\sigma_3}{\sqrt{2}} = \frac{\Delta Q}{A_0}$$

变形协调条件

$$\Delta\varepsilon_1 = \frac{\Delta\delta_y + \Delta\delta_x}{2l_0}, \Delta\varepsilon_2 = \frac{\Delta\delta_y}{l_0}, \Delta\varepsilon_3 = \frac{\Delta\delta_y - \Delta\delta_x}{2l_0}$$

可得

$$\Delta \varepsilon_2 = \Delta \varepsilon_1 + \Delta \varepsilon_3$$

现在保持  $\Delta \delta_y = 0$  施加  $Q$ ，故

$$\Delta \delta_x = \delta_x > 0, \quad \Delta \varepsilon_1 = \frac{\Delta \delta_x}{2l_0} > 0, \quad \Delta \varepsilon_2 = 0, \quad \Delta \varepsilon_3 = -\frac{\Delta \delta_x}{2l_0} < 0$$

即第 1 杆继续伸长，第 2 杆长度不变，第 3 杆发生卸载。于是

$$\Delta \sigma_1 = \Delta \sigma_2 = 0, \quad \Delta \sigma_3 = E \Delta \varepsilon_3 = -\frac{E \delta_x}{2l_0} < 0$$

进而求得

$$\frac{\Delta F}{A_0} = \frac{\Delta \sigma_3}{\sqrt{2}} < 0, \quad \frac{\Delta Q}{A_0} = -\frac{\Delta \sigma_3}{\sqrt{2}} > 0, \quad \Delta F = -\Delta Q$$

即  $Q$  增加时  $F$  必须减小。当  $\Delta \sigma_3 = -2\sigma_Y$  使  $\sigma_3 = -\sigma_Y$  时，第 3 杆进入反向屈服，整个桁架再次进入塑性流动状态(保持  $\delta_y$  不变即增加了约束，所以需要 3 根杆都屈服结构才进入塑性流动状态)，此时

$$Q = Q_Y = \sqrt{2} \sigma_Y A_0, \quad F = F_Y + \Delta F = (1 + \sqrt{2}) \sigma_Y A_0 - \sqrt{2} \sigma_Y A_0 = \sigma_Y A_0$$

叠加上初始状态可得

$$\sigma_1 = \sigma_2 = \sigma_Y, \quad \sigma_3 = -\sigma_Y, \quad \delta_y = 2\varepsilon_1 l_0 = \frac{2\sigma_Y l_0}{E}, \quad \delta_x = -2\Delta \varepsilon_3 l_0 = \frac{4\sigma_Y l_0}{E}$$

$$\varepsilon_3 = \varepsilon_Y - \frac{2\sigma_Y l_0}{E} = -\varepsilon_Y, \quad \varepsilon_1 = \varepsilon_Y + \frac{2\sigma_Y l_0}{E} = 3\varepsilon_Y, \quad \varepsilon_2 = 2\varepsilon_Y$$

### 3. 按照比例加载的理想弹塑性材料的三杆桁架

按照  $F: Q = 1: \sqrt{2}$  单调比例增加，直到结构达到塑性极限状态。有协调关系

$$\varepsilon_2 = \varepsilon_1 + \varepsilon_3$$

于是有

$$\sigma_2 = \sigma_1 + \sigma_3$$

有应力方程的平衡方程

$$\sigma_2 + \frac{\sigma_1 + \sigma_3}{\sqrt{2}} = \frac{F}{A_0}, \quad \frac{\sigma_1 - \sigma_3}{\sqrt{2}} = \frac{Q}{A_0}, \quad Q = \sqrt{2} F$$

解得

$$\sigma_1 = \left( \frac{\sqrt{2}}{1 + \sqrt{2}} + 2 \right) \frac{F}{2A_0} > 0, \quad \sigma_2 = \frac{\sqrt{2}}{1 + \sqrt{2}} \frac{F}{A_0} > 0, \quad \sigma_3 = \left( \frac{\sqrt{2}}{1 + \sqrt{2}} - 2 \right) \frac{F}{2A_0} < 0$$



## 必背公式

### 1. 三根桁架的应变方程(变形协调方程)

$$\Delta \varepsilon_1 = \frac{\Delta \delta_y + \Delta \delta_x}{2l_0}, \quad \Delta \varepsilon_2 = \frac{\Delta \delta_y}{l_0}, \quad \Delta \varepsilon_3 = \frac{\Delta \delta_y - \Delta \delta_x}{2l_0}$$

### 2. 应力边界条件

$$S_{Ni} = \sigma_{ij} l_j$$

### 3. 平均正应力(静水压力)

$$\sigma_m = \frac{\sigma_{11} + \sigma_{22} + \sigma_{33}}{3} = \frac{1}{3} \sigma_{kk}$$

### 4. 应力张量分解

$$\sigma_{ij} = \sigma_m \delta_{ij} + s_{ij}$$

### 5. 应力张量的应力不变量

$$J_1 = \sigma_1 + \sigma_2 + \sigma_3, \quad J_2 = -(\sigma_1 \sigma_2 + \sigma_2 \sigma_3 + \sigma_3 \sigma_1), \quad J_3 = \sigma_1 \sigma_2 \sigma_3$$

### 6. 应力偏张量主值(主偏应力)

$$s_j = \sigma_j - \sigma_m$$

### 7. 应力偏张量的应力不变量

$$J'_1 = s_1 + s_2 + s_3 = 0, \quad J'_3 = s_1 s_2 s_3 = (\sigma_1 - \sigma_m)(\sigma_2 - \sigma_m)(\sigma_3 - \sigma_m)$$

$$J'_2 = -(s_1 s_2 + s_2 s_3 + s_3 s_1) = \frac{1}{2} (s_1^2 + s_2^2 + s_3^2) = \frac{1}{2} (s_{11}^2 + s_{22}^2 + s_{33}^2 + 2s_{12}^2 + 2s_{23}^2 + 2s_{31}^2)$$

$$= \frac{1}{2} s_{ij} s_{ij}$$

$$= \frac{1}{6} [(\sigma_1 - \sigma_2)^2 + (\sigma_2 - \sigma_3)^2 + (\sigma_3 - \sigma_1)^2]$$

$$= \frac{1}{6} [(\sigma_x - \sigma_y)^2 + (\sigma_y - \sigma_z)^2 + (\sigma_z - \sigma_x)^2 + 6(\tau_{xy}^2 + \tau_{yz}^2 + \tau_{zx}^2)]$$

$$= \frac{1}{6} [(\sigma_r - \sigma_\theta)^2 + (\sigma_\theta - \sigma_z)^2 + (\sigma_z - \sigma_r)^2 + 6(\tau_{r\theta}^2 + \tau_{\theta z}^2 + \tau_{zr}^2)]$$

### 8. 八面体应力分量, 正应力和剪应力

$$|\mathbf{F}_8|^2 = \frac{1}{3} (\sigma_1^2 + \sigma_2^2 + \sigma_3^2), \quad \sigma_8 = \frac{\sigma_{11} + \sigma_{22} + \sigma_{33}}{3} = \sigma_m, \quad \tau_8 = \sqrt{|\mathbf{F}_8|^2 - \sigma_8^2} = \sqrt{\frac{2}{3} J'_2}$$

### 9. 等效应力

$$\bar{\sigma} = \sqrt{3J'_2} = \frac{1}{\sqrt{2}} \sqrt{(\sigma_1 - \sigma_2)^2 + (\sigma_2 - \sigma_3)^2 + (\sigma_3 - \sigma_1)^2}$$

$$\bar{\tau} = \sqrt{J'_2} = \frac{1}{\sqrt{6}} \sqrt{(\sigma_1 - \sigma_2)^2 + (\sigma_2 - \sigma_3)^2 + (\sigma_3 - \sigma_1)^2}$$

#### 10. 最大剪应力

$$\tau_{\max} = \frac{\sigma_1 - \sigma_3}{2}$$

#### 11. 等效应变

$$\bar{\varepsilon} = \sqrt{\frac{4}{3} I'_2} = \frac{\sqrt{2}}{3} \sqrt{(\varepsilon_1 - \varepsilon_2)^2 + (\varepsilon_2 - \varepsilon_3)^2 + (\varepsilon_3 - \varepsilon_1)^2}$$

$$\bar{\gamma} = 2\sqrt{I'_2} = \sqrt{3} \bar{\varepsilon} = \frac{\sqrt{6}}{3} \sqrt{(\varepsilon_1 - \varepsilon_2)^2 + (\varepsilon_2 - \varepsilon_3)^2 + (\varepsilon_3 - \varepsilon_1)^2}$$

#### 12. Tresca 屈服条件

$$\frac{1}{2} (\sigma_1 - \sigma_3) = k$$

单向拉伸

$$k = \frac{1}{2} \sigma_Y$$

纯剪切

$$k = \tau_Y$$

#### 13. Mises 屈服条件

$$J'_2 = \frac{1}{6} [(\sigma_1 - \sigma_2)^2 + (\sigma_2 - \sigma_3)^2 + (\sigma_3 - \sigma_1)^2] = C$$

单向拉伸

$$J'_2 = \frac{1}{3} \sigma_Y^2 = C$$

纯剪切

$$J'_2 = \tau_Y^2 = C$$

#### 14. 受拉扭组合的薄壁圆管

Mises 屈服条件

$$\left(\frac{\sigma}{\sigma_Y}\right)^2 + 3\left(\frac{\tau}{\sigma_Y}\right)^2 = 1$$

Tresca 屈服条件

$$\left(\frac{\sigma}{\sigma_Y}\right)^2 + 4\left(\frac{\tau}{\sigma_Y}\right)^2 = 1$$

16. 平面主应力公式

$$\sigma' = \frac{\sigma_x + \sigma_y}{2} + \frac{1}{2} \sqrt{(\sigma_x - \sigma_y)^2 + 4\tau_{xy}^2}, \quad \sigma'' = \frac{\sigma_x + \sigma_y}{2} - \frac{1}{2} \sqrt{(\sigma_x - \sigma_y)^2 + 4\tau_{xy}^2}, \quad \sigma''' = 0$$

17. 广义 Hooke 定律

$$\varepsilon_{ij} = \frac{\sigma_{ij}}{2G} - \frac{3\nu}{E} \sigma_m \delta_{ij}$$

18. 增量理论

Levy-Mises 理论(理想刚塑性, 复杂加载,  $\mu = \frac{1}{2}$ )

$$d\varepsilon_{ij} = d\lambda s_{ij}, \quad d\lambda = \frac{3d\bar{\varepsilon}}{2\sigma_Y}, \quad \frac{d\varepsilon_1}{s_1} = \frac{d\varepsilon_2}{s_2} = \frac{d\varepsilon_3}{s_3}$$

Prandtl-Reuss 理论(理想弹塑性, 复杂加载,  $\mu \leq \frac{1}{2}$ )

$$d\varepsilon_{ij} = \frac{ds_{ij}}{2G} + d\lambda s_{ij}, \quad d\lambda = \frac{3dW}{2\sigma_Y^2}$$

伊柳辛理论(幂强化, 简单加载,  $\mu = \frac{1}{2}$ )

$$e_{ij} = \frac{1}{2G_s} s_{ij}, \quad G_s = \frac{\bar{\sigma}}{3\bar{\varepsilon}}$$

19. 薄壁圆管受拉扭作用的量纲归一化

$$\sigma^2 + \tau^2 = 1$$

20. 阶梯变形路径积分

$\gamma$  为常数

$$\varepsilon - \varepsilon_0 = \frac{1}{2} \ln \left( \frac{1 + \sigma}{1 + \sigma_0} \cdot \frac{1 - \sigma_0}{1 - \sigma} \right)$$

$\varepsilon$  为常数

$$\gamma - \gamma_0 = \frac{1}{2} \ln \left( \frac{1 + \tau}{1 + \tau_0} \cdot \frac{1 - \tau_0}{1 - \tau} \right)$$